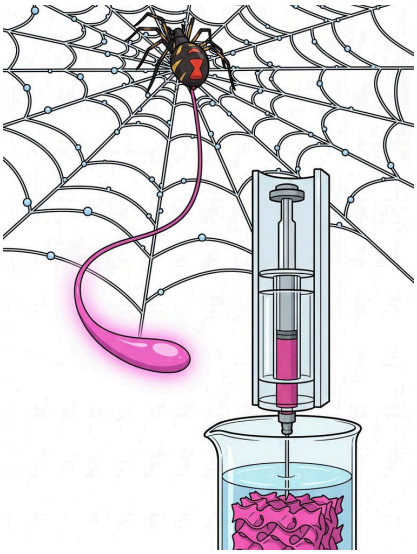
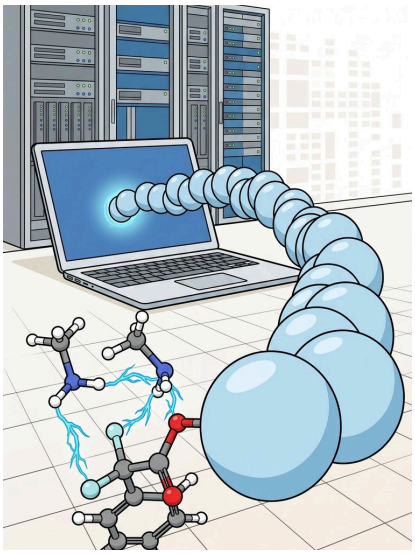


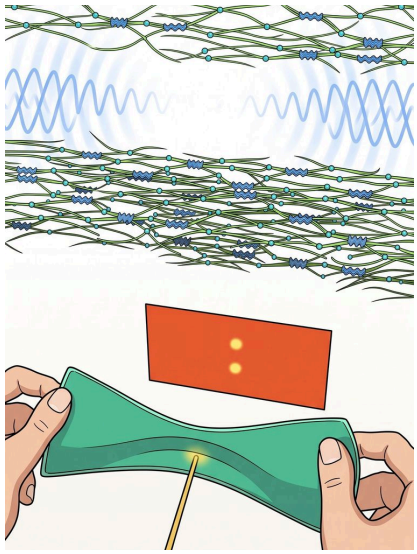
BIOMACROMOLECULES · 2024 · 25 (2)

POLYMAT PLAY **AH**



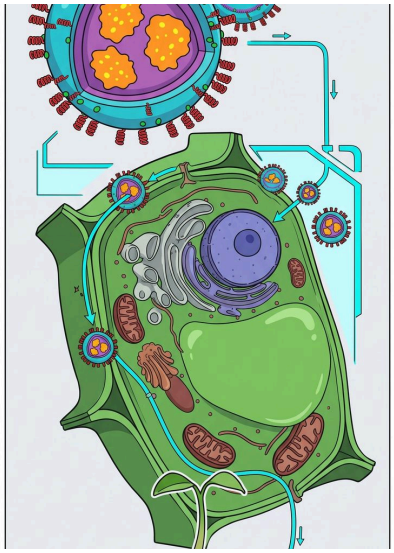
MACROMOLECULES · 2021 · 54 (1)

POLYMAT PLAY **BO**



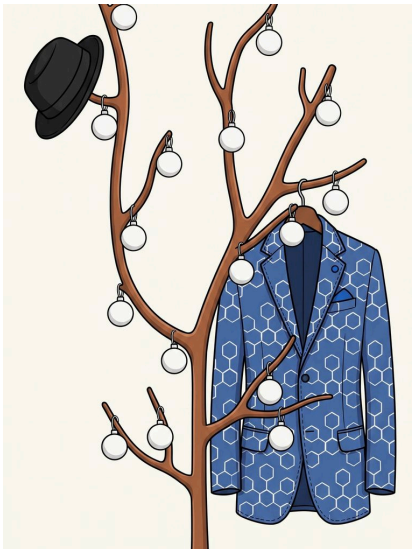
MACROMOLECULES · 2024 · 57 (4)

POLYMAT PLAY **DW**



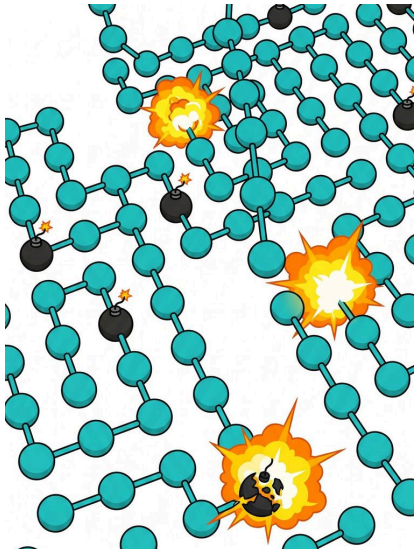
BIOMACROMOLECULES · 2021 · 22 (3)

POLYMAT PLAY **FM**



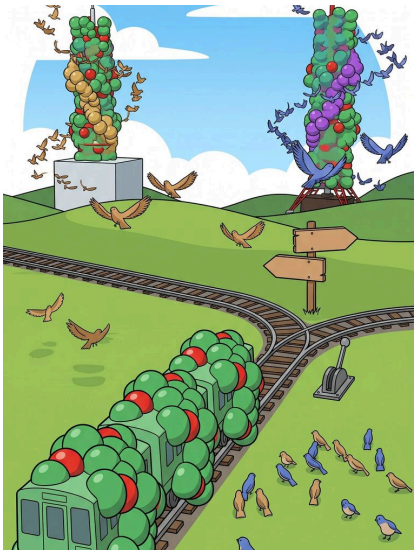
CHEM. SCI. · 2022 · 13 (20)

POLYMAT PLAY **FV**



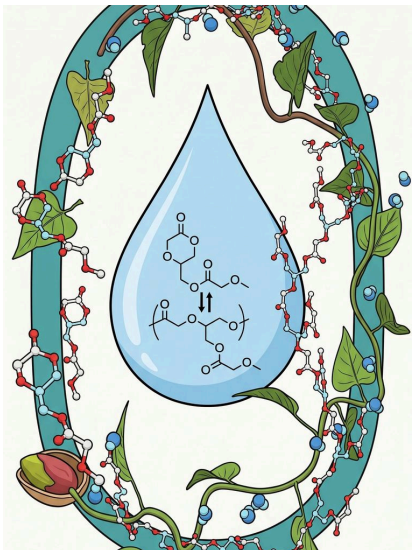
ACS MACRO LETT. · 2021 · 10 (12)

POLYMAT PLAY **FZ**



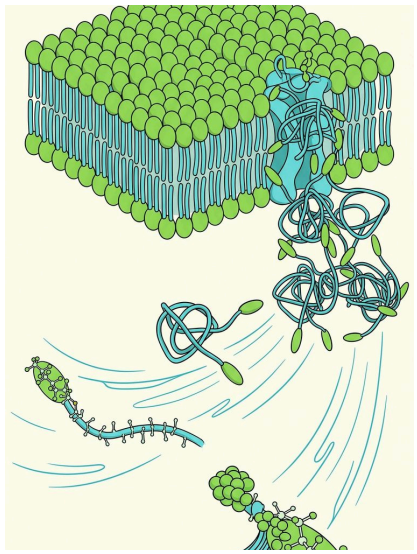
CHEM. SCI. · 2021 · 12 (10)

POLYMAT PLAY **GZ**



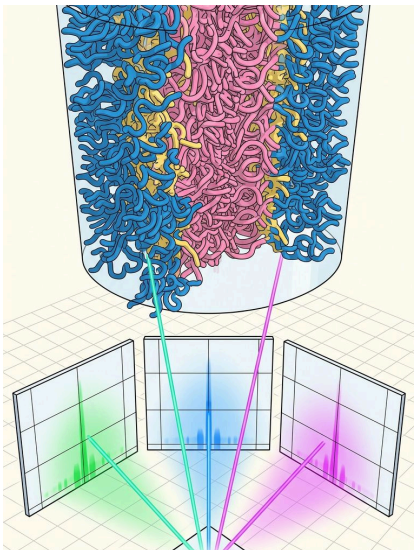
MACROMOL. CHEM. PHYS. · 2022 · 223 (20)

POLYMAT PLAY **JZ**



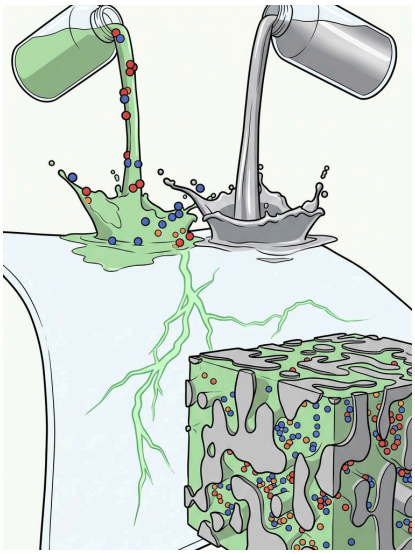
MACROMOLECULES · 2025 · 58 (14)

POLYMAT PLAY **KD**



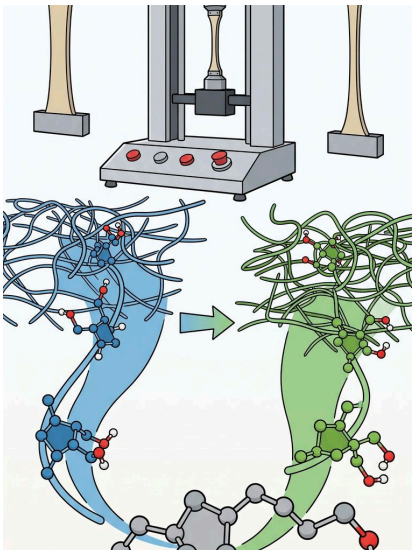
MACROMOLECULES · 2021 · 54 (1)

POLYMAT PLAY **LS**



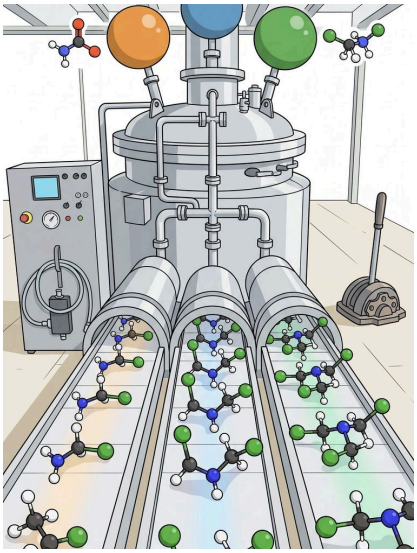
MACROMOL. CHEM. PHYS. · 2022 · 223 (8)

POLYMAT PLAY **ME**



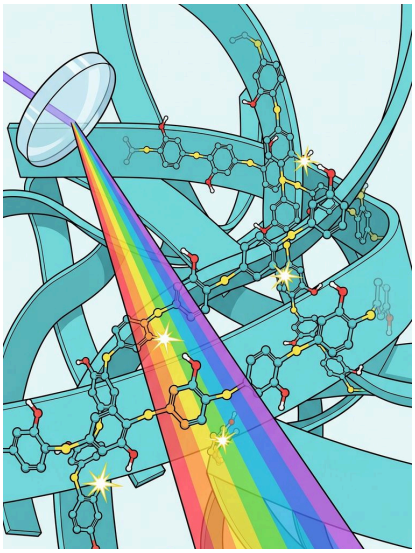
POLYM. CHEM. · 2024 · 15 (39)

POLYMAT PLAY **MV**



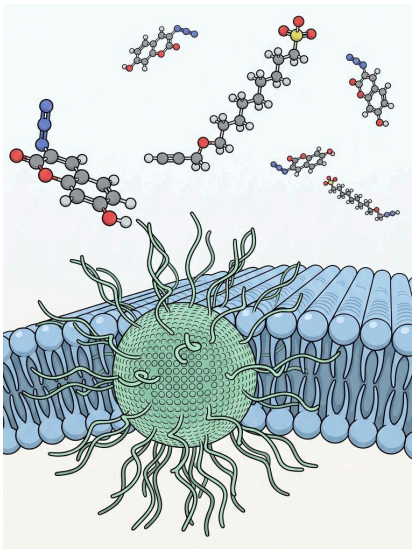
CHEMSUSCHEM · 2022 · 15 (2)

POLYMAT PLAY **NW**



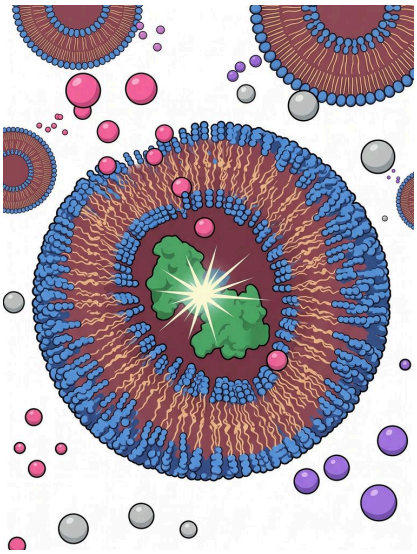
MACROMOLECULES · 2022 · 55 (6)

POLYMAT PLAY **OH**



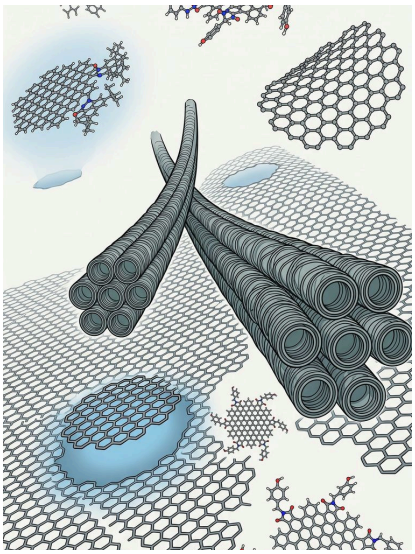
J. AM. CHEM. SOC. · 2023 · 145 (2)

POLYMAT PLAY **PU**



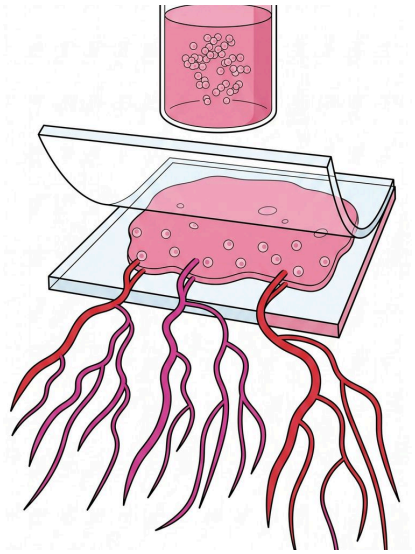
BIOMACROMOLECULES · 2021 · 22 (7)

POLYMAT PLAY **RL**



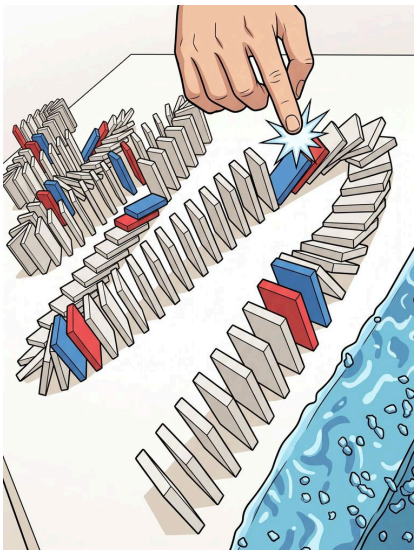
ANGEW. CHEM. INT. ED. · 2021 · 60 (23)

POLYMAT PLAY **UJ**



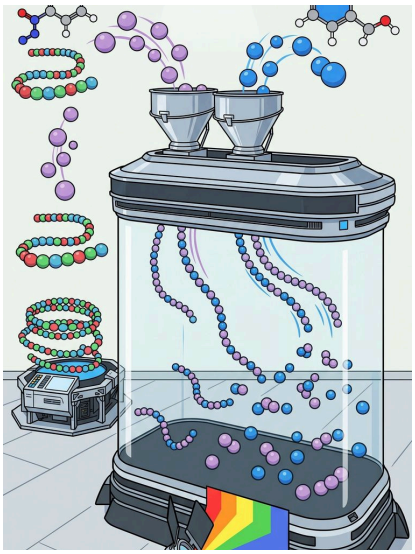
MACROMOL. BIOSCI. · 2023 · 23 (9)

POLYMAT PLAY **UR**



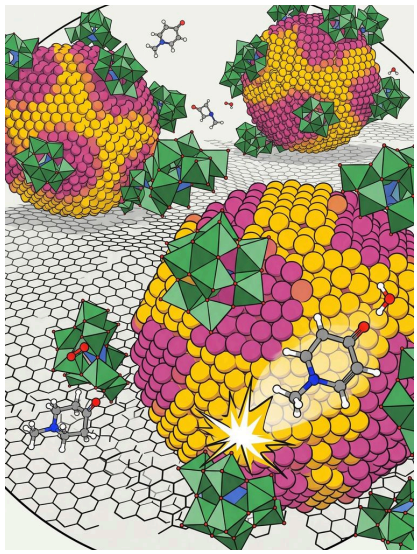
ACS MACRO LETT. · 2024 · 13 (8)

POLYMAT PL>Y **VA**



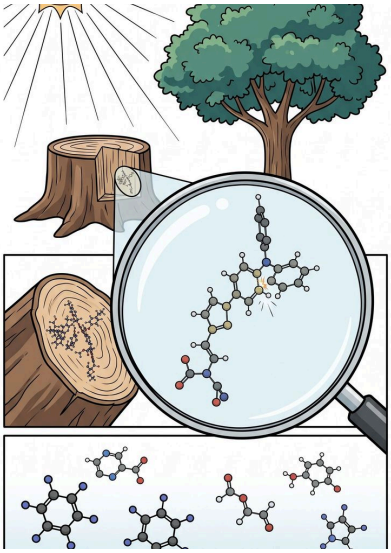
MACROMOLECULES · 2025 · 58 (5)

POLYMAT PL>Y **WC**



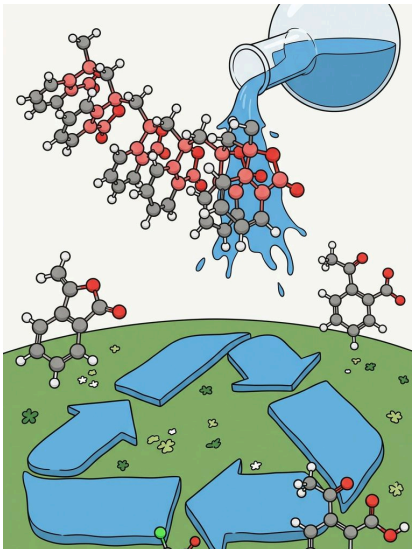
ANGEW. CHEM. INT. ED. · 2022 · 61 (34)

POLYMAT PL>Y **XW**



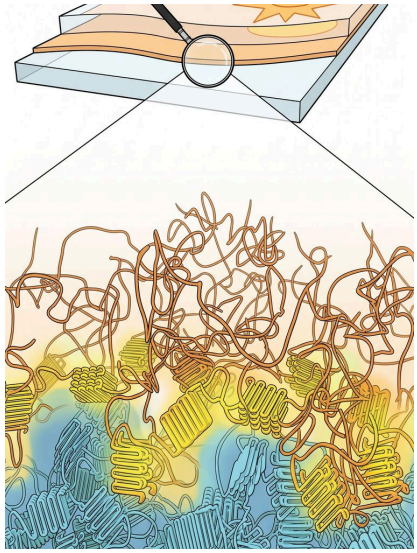
SUSTAINABLE ENERGY FUELS · 2023 · 7 (10)

POLYMAT PL>Y **YB**



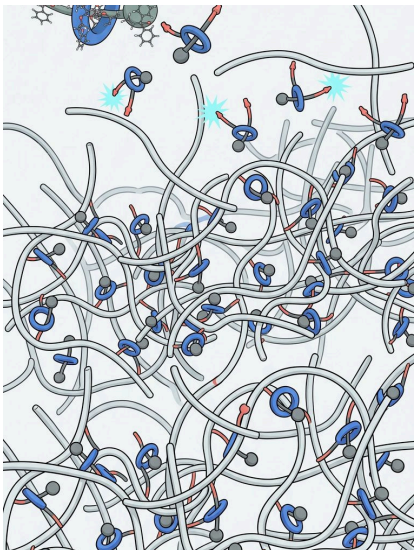
ACS MACRO LETT. · 2023 · 12 (12)

POLYMAT PL>Y **YL**



MACROMOLECULES · 2021 · 54 (15)

POLYMAT PL>Y **YM**



MACROMOL. RAPID COMMUN. · 2021 · 42 (7)

POLYMAT PL>Y **ZG**

ARTÍCULO

Degradación conmutable de polímeros vinílicos catalizada por metales, activada por un enlace **carbono–halógeno** introducido en la cadena

Metal-Catalyzed Switching Degradation of Vinyl Polymers via Introduction of an "In-Chain" Carbon–Halogen Bond as the Trigger

Kimura, T. et al.

POLYMAT PL>Y 04

ARTÍCULO

Fotodegradabilidad controlable en **poliuretanos** obtenidos de monómeros de tipo AB

Controllable Photo-degradability on Polyurethane from AB-Type Monomers

Reeb, J. et al.

POLYMAT PL>Y 05

ARTÍCULO

Grupos terminales fluoroalquilo que regulan las interfases cristal/amorfo de películas de polietileno semicristalino

Fluoroalkyl Chain End Groups Regulating Crystal/Amorphous Interfaces of Semicrystalline Polyethylene Films

Tashiro, K. et al.

POLYMAT PLAY 08

ARTÍCULO

Catalizadores soportados de nanopartículas de oro aniónicas modificados con polioxometalatos multivacantes muy cargados negativamente

Supported Anionic Gold Nanoparticle Catalysts Modified Using Highly Negatively Charged Multivacant Polyoxometalates

Xia, K. et al.

POLYMAT PLAY 15

ARTÍCULO

Diseño de poli(sulfuros de fenileno) amorfos de índice de refracción ultraalto basados en redes densas de enlaces de hidrógeno intermoleculares

Designing Ultrahigh-Refractive-Index Amorphous Poly(phenylene sulfide)s Based on Dense Intermolecular Hydrogen-Bond Networks

Watanabe, S. & Oyaizu, K.

POLYMAT PLAY 16

ARTÍCULO

Conversión hidrogenativa altamente selectiva de nitrilos en aminas terciarias, secundarias y primarias en condiciones de reacción en flujo

Highly Selective Hydrogenative Conversion of Nitriles into Tertiary, Secondary, and Primary Amines under Flow Reaction Conditions

Yamada, T. et al.

POLYMAT PLAY 25

ARTÍCULO

Un subóxido de molibdeno casi estable con abundantes vacantes de oxígeno que favorece la hidrogenación de CO2 a metanol

A quasi-stable molybdenum sub-oxide with abundant oxygen vacancies that promotes CO2 hydrogenation to methanol

Kuwahara, Y. et al.

POLYMAT PLAY 28

ARTÍCULO

Una diferencia menor en la estructura del grupo de enlace de hidrógeno tiene un gran impacto en las propiedades mecánicas de los polímeros

A minor difference in the hydrogen-bonding group structure has a major impact on the mechanical properties of polymers

Ishizaka, S. et al.

POLYMAT PLAY 29

ARTÍCULO

Ruptura del enlace C–C impulsada por energía solar en un compuesto modelo de lignina con un fotoánodo sensibilizado por colorante orgánico D–π–A

Solar energy driven C–C bond cleavage in a lignin model compound with a D–π–A organic dye-sensitized photoanode

Kim, S. et al.

POLYMAT PLAY 31

ARTÍCULO

Diseño asistido por ordenador de una reacción de modificación pospolimerización basada en la aminólisis de ésteres de α,α-difluoroacetato

Computer-Aided Design of Postpolymerization Modification Reaction Based on Aminolysis of α,α-Difluoroacetate Esters

Kakuchi, R. et al.

POLYMAT PLAY 32

ARTÍCULO

Autoensamblaje de nanografenos

Self-Assembly of Nanographenes

Matsumoto, I. et al.

POLYMAT PLAY 33

ARTÍCULO

Escisión rápida y selectiva de la cadena principal de polímeros vinílicos mediante una reacción dominó en la secuencia alternante para transesterificación

Fast and Selective Main-Chain Scission of Vinyl Polymers Using the Domino Reaction in the Alternating Sequence for Transesterification

Kohsaka, Y. et al.

POLYMAT PLAY 44

ARTÍCULO

Análisis de la distribución de homopolímero en una película delgada de mezcla polimérica por dispersión anómala de rayos X a ángulo pequeño con incidencia rasante en el borde K del bromo

Analysis of Homopolymer Distribution in a Polymer Blend Thin Film by Anomalous Grazing Incidence Small-Angle X-ray Scattering at the Bromine K-Edge

Hamamoto, H. et al.

POLYMAT PLAY 49

ARTÍCULO

Dinámica de la alineación de hidrogeles nanocompuestos durante la impresión 3D para desarrollar tecnología de ingeniería de tejidos

Dynamics of Nanocomposite Hydrogel Alignment during 3D Printing to Develop Tissue Engineering Technology

Yu, H. et al.

POLYMAT PLAY 58

ARTÍCULO

Análisis de la interfase de adhesión del polipropileno isotáctico con adhesivos de poliolefina de fusión en caliente

Analyses of the Adhesion Interphase of Isotactic Polypropylene Using Hot-Melt Polyolefin Adhesives

Matsumoto, T. et al.

POLYMAT PLAY 61

ARTÍCULO

Ligando dendrítico de fenilazometina a medida, recubierto de polifenileno, para la síntesis de nanopartículas

Poly-phenylene jacketed tailor-made dendritic phenylazomethine ligand for nanoparticle synthesis

Albrecht, K. et al.

POLYMAT PLAY 69

ARTÍCULO

Polímeros vinílicos químicamente reciclables por polimerización radicalaria libre de derivados cíclicos del estireno

Chemically Recyclable Vinyl Polymers by Free Radical Polymerization of Cyclic Styrene Derivatives

Chiba, Y. et al.

POLYMAT PLAY 70

ARTÍCULO

Seguimiento de la dinámica estructural ultrarrápida por espectroscopia Raman en el dominio del tiempo

Tracking Ultrafast Structural Dynamics by Time-Domain Raman Spectroscopy

Kuramochi, H. & Tahara, T.

POLYMAT PLAY 72

ARTÍCULO

Vesículas poliméricas termosensibles de carbohidrato-b-polipeptoide con permeabilidad selectiva y factores de permeabilidad para solutos

Thermoresponsive Carbohydrate-b-Polypeptoid Polymer Vesicles with Selective Solute Permeability and Permeable Factors for Solutes

Okuno, Y. et al.

POLYMAT PLAY 76

ARTÍCULO

Vesículas de complejo poliónico basadas en péptidos que introducen enzimas en plantas intactas para dar resistencia a antibióticos sin modificación genética

Peptide-Based Polyion Complex Vesicles That Deliver Enzymes into Intact Plants To Provide Antibiotic Resistance without Genetic Modification

Fujita, S. et al.

POLYMAT PLAY 80

ARTÍCULO

Derivado de polidioxanona con grupos metoxi para polímeros degradables biofuncionales con biocompatibilidad impulsada por la hidratación

Polydioxanone Derivative Bearing Methoxy Groups toward Bio-Functional Degradable Polymers Exhibiting Hydration-Driven Biocompatibility

Fukushima, K. et al.

POLYMAT PLAY 81

ARTÍCULO

Fabricación sencilla, rápida y a gran escala de hidrogeles multirramificados basada en digitación viscosa para cultivo celular

Simple, Rapid, and Large-Scale Fabrication of Multi-Branched Hydrogels Based on Viscous Fingering for Cell Culture Applications

Utagawa, Y. et al.

POLYMAT PLAY 82

ARTÍCULO

Un catalizador macromolecular integrado en la membrana con selectividad de sustrato en células vivas

A Membrane-Embedded Macromolecular Catalyst with Substrate Selectivity in Live Cells

Deng, Y. et al.

POLYMAT PLAY 86

ARTÍCULO

Cristalización inducida por deformación en hidrogeles de poli(etilenglicol) tetrarramificado con una estructura de red común

Strain-Induced Crystallization in Tetra-Branched Poly(ethylene glycol) Hydrogels with a Common Network Structure

Hashimoto, K. et al.

POLYMAT PLAY 87

ARTÍCULO

Geles compuestos de metal líquido y líquido iónico para conductores blandos mixtos electrónico-iónicos

Liquid Metal–Ionic Liquid Composite Gels for Soft, Mixed Electronic–Ionic Conductors

Asada, J. et al.

POLYMAT PLAY 88

ARTÍCULO

Entrecruzador difuncional de N-óxido de nitrilo basado en rotaxano: síntesis e introducción directa de puntos de entrecruzamiento móviles en caucho EPDM

Rotaxane-Based Difunctional Nitrile N-Oxide Crosslinker: Synthesis and Direct Introduction of Movable Crosslinking Points into Ethylene-Propylene-Butadie ne Monomer (EPDM) Rubber

Sogawa, H. et al.

POLYMAT PLAY 92

ARTÍCULO

Regulación previa de la quiralidad plana de pilar[5]arenos para preparar nanotubos quirales discretos

Pre-regulation of the planar chirality of pillar[5]arenes for preparing discrete chiral nanotubes

Fa, S. et al.

POLYMAT PLAY 94

REGLAS

¿Qué lees?

Encuentra el título de artículo que corresponde a cada portada.

1. Extiende las 52 cartas boca arriba: 25 portadas (dos letras) y 27 títulos (dos números).
2. Dos títulos no son de ninguna portada: las últimas parejas no salen por descarte.
3. Una persona es el árbitro y guarda la carta CLAVE sin enseñarla.
4. En tu turno, di una pareja en voz alta, letra y número: «GZ va con 94».
5. El árbitro mira la clave. Acierto: coge las dos cartas y di otra pareja. Error: fin del turno.
6. Termina al encontrar las 25 parejas. Gana quien tenga más cartas.
7. Más corto: 12 parejas y una trampa. Más difícil: cada error cuesta una carta.

Juega a la versión digital
`labur.eus/zerirakurri`

POLYMAT PLAY REGLAS

CLAVE

Clave

Para el árbitro. No la enseñes.

AH · 58	BO · 32	DW · 87
FM · 80	FV · 69	FZ · 04
GZ · 94	JZ · 81	KD · 08
LS · 49	ME · 88	MV · 29
NW · 25	OH · 16	PU · 86
RL · 76	UJ · 33	UR · 82
VA · 44	WC · 05	XW · 15
YB · 31	YL · 70	YM · 61
ZG · 92		

72 y 28: sin portada.

Portadas: de sus editoriales y artistas (representaciones artísticas, no literales) · **Autor:** Beñat Olave · POLYMAT Play · CC BY-NC-SA 4.0

POLYMAT PLAY CLAVE


Fundamentos de química y polímeros
POLYMAT Play
Educación superior
ES
Party game
labur.eus/zerirakurri
¿Qué lees?